

tales que $\exp_p : U_0 \rightarrow V_0$ y $\exp_{\bar{p}} : \bar{U}_0 \rightarrow \bar{V}_0$ son difeomorfismos. Tomemos además los abiertos $U := \tilde{\varphi}^{-1}(\bar{U}_0 \cap \tilde{\varphi}(U_0)) \subset U_0$ y $\bar{U} := \bar{U}_0 \cap \tilde{\varphi}(U_0) \subset \bar{U}_0$ (obsérvese que $\bar{U} = \tilde{\varphi}(U)$, véase la figura 5.10). Finalmente, representamos por V y \bar{V} los entornos (de p y \bar{p} , respectivamente) $V := \exp_p(U) \subset V_0$ y $\bar{V} := \exp_{\bar{p}}(\bar{U}) \subset \bar{V}_0$, y definimos la aplicación φ como la composición

$$\varphi = \exp_{\bar{p}} \circ \tilde{\varphi} \circ \exp_p^{-1} : V \rightarrow \bar{V}.$$

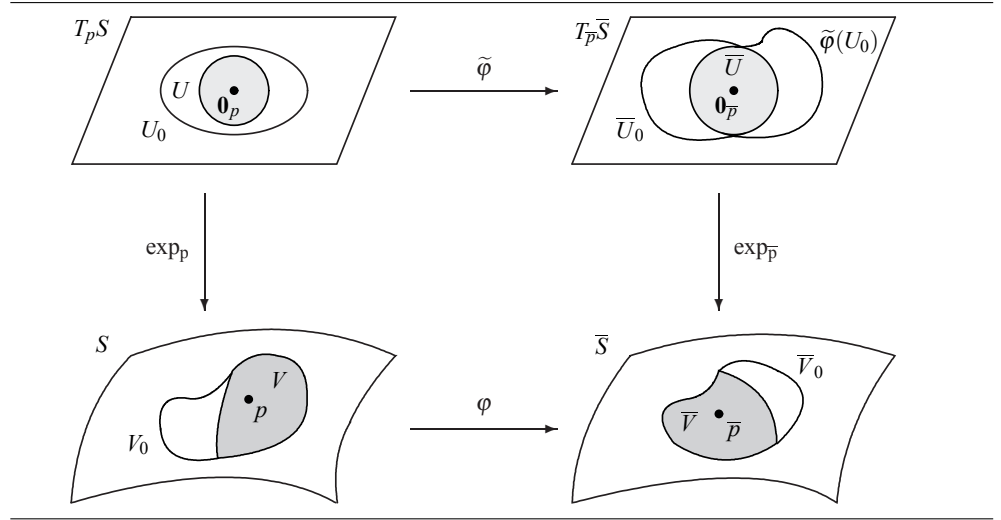


Figura 5.10: Construyendo la isometría φ entre V y \bar{V} .

Vamos a demostrar que φ es una isometría (global) entre V y \bar{V} . Desde luego, φ es un difeomorfismo, pues es composición de difeomorfismos. Para ver que es una isometría, utilizaremos el teorema 3.7.4: construiremos dos parametrizaciones X y $\bar{X} = \varphi \circ X$, de S y \bar{S} , respectivamente, con los mismos coeficientes de la primera forma fundamental.

Para ello, sean $\phi : \mathbb{R}^2 \rightarrow T_p S$ y $\bar{\phi} : \mathbb{R}^2 \rightarrow T_{\bar{p}} \bar{S}$ las aplicaciones dadas por

$$\phi(r, \theta) = r \cos \theta \mathbf{e}_1 + r \sin \theta \mathbf{e}_2 \quad \text{y} \quad \bar{\phi}(r, \theta) = r \cos \theta \bar{\mathbf{e}}_1 + r \sin \theta \bar{\mathbf{e}}_2,$$

y consideremos $U' := \phi^{-1}(U) = \bar{\phi}^{-1}(\bar{U})$. Ésta es una buena definición pues, si el par $(r, \theta) \in \phi^{-1}(U)$, o lo que es lo mismo, si $\phi(r, \theta) = r \cos \theta \mathbf{e}_1 + r \sin \theta \mathbf{e}_2 \in U$, entonces

$$\begin{aligned} \bar{\phi}(r, \theta) &= r \cos \theta \bar{\mathbf{e}}_1 + r \sin \theta \bar{\mathbf{e}}_2 = r \cos \theta \tilde{\varphi}(\mathbf{e}_1) + r \sin \theta \tilde{\varphi}(\mathbf{e}_2) \\ &= \tilde{\varphi}(r \cos \theta \mathbf{e}_1 + r \sin \theta \mathbf{e}_2) \in \tilde{\varphi}(U) = \bar{U}, \end{aligned}$$

de donde se deduce que $(r, \theta) \in \bar{\phi}^{-1}(\bar{U})$; el recíproco es análogo.

Construimos finalmente las parametrizaciones buscadas para nuestras superficies S y \bar{S} (véase la figura 5.11):

$$X = \exp_p \circ \phi \quad \text{y} \quad \bar{X} = \exp_{\bar{p}} \circ \bar{\phi},$$

respectivamente (en definitiva, no estamos haciendo otra cosa que considerar los sistemas de coordenadas geodésicas polares para cada una de las superficies).

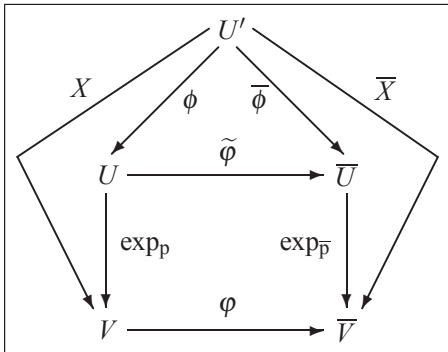


Figura 5.11: Construyendo las parametrizaciones X y $\bar{X} = \varphi \circ X$.

Es muy sencillo comprobar que el nuevo diagrama (véase la figura 5.11) es conmutativo, es decir, que $\bar{X} = \varphi \circ X$. En efecto:

$$\begin{aligned}\bar{X}(r, \theta) &= (\exp_{\bar{p}} \circ \bar{\varphi})(r, \theta) = \exp_{\bar{p}}(r \cos \theta \bar{\mathbf{e}}_1 + r \sin \theta \bar{\mathbf{e}}_2) \\ &= (\exp_{\bar{p}} \circ \tilde{\varphi})(r \cos \theta \mathbf{e}_1 + r \sin \theta \mathbf{e}_2) = (\varphi \circ \exp_p)(r \cos \theta \mathbf{e}_1 + r \sin \theta \mathbf{e}_2) \\ &= (\varphi \circ \exp_p \circ \phi)(r, \theta) = (\varphi \circ X)(r, \theta).\end{aligned}$$

Por lo tanto, $\varphi = \bar{X} \circ X^{-1}$. El teorema 3.7.4 nos asegura entonces que si los coeficientes de la primera forma fundamental de X y \bar{X} coinciden, la aplicación φ es una isometría. Ahora bien, en el ejemplo 5.11 hemos calculado los coeficientes E , F y G correspondientes a los sistemas de coordenadas geodésicas polares, cuando la curvatura de Gauss es constante, relaciones (5.19), (5.20) y (5.21). Así, se tiene que $E = 1 = \bar{E}$ y $F = 0 = \bar{F}$. Además, como por hipótesis $K = \bar{K}$,

$$G = \begin{cases} r^2 & \text{si } K = \bar{K} = 0 \\ \frac{1}{K} \sin^2(\sqrt{K}r) = \frac{1}{\bar{K}} \sin^2(\sqrt{\bar{K}}r) & \text{si } K = \bar{K} > 0 \\ \frac{-1}{K} \sinh^2(\sqrt{-K}r) = \frac{-1}{\bar{K}} \sinh^2(\sqrt{-\bar{K}}r) & \text{si } K = \bar{K} < 0 \end{cases} = \bar{G}.$$

Luego $\varphi = \exp_{\bar{p}} \circ \tilde{\varphi} \circ \exp_p^{-1}$ es una isometría. \square

Observación 5.6. Obsérvese que, para la aplicación $\varphi = \exp_{\bar{p}} \circ \tilde{\varphi} \circ \exp_p^{-1}$ definida en la demostración del teorema de Minding, se tiene además que $d\varphi_p \equiv \tilde{\varphi}$:

$$\begin{aligned}d\varphi_p(\mathbf{v}) &= d(\exp_{\bar{p}} \circ \tilde{\varphi} \circ \exp_p^{-1})_p(\mathbf{v}) = d(\exp_{\bar{p}})_{(\tilde{\varphi} \circ \exp_p^{-1})(p)}(d(\tilde{\varphi} \circ \exp_p^{-1})_p(\mathbf{v})) \\ &= d(\exp_{\bar{p}})_{\mathbf{0}_p}(d\tilde{\varphi}_{\exp_p^{-1}(p)}(d(\exp_p^{-1})_p(\mathbf{v}))) = (d\tilde{\varphi}_{\mathbf{0}_p} \circ d(\exp_p^{-1})_p)(\mathbf{v}) \\ &= (\tilde{\varphi} \circ (d(\exp_p)_{\mathbf{0}_p})^{-1})(\mathbf{v}) = \tilde{\varphi}(\mathbf{v}),\end{aligned}$$

para todo $\mathbf{v} \in T_p S$. En particular, $d\varphi_p(\mathbf{e}_i) = \bar{\mathbf{e}}_i$, para $i = 1, 2$. \diamond